

Resumen agrometeorológico mensual

Observatorio agrometeorológico EEA INTA Famallá

Latitud: 27° 03'; Longitud: 65°25'; Altitud: 363 msnm

Febrero 2023

Febrero de 2023 se caracterizó por ser caliente y seco. Elevada temperatura, precipitación baja, heliofanía y radiación altas y humedad relativa baja (Gráfico 1).

Según la distribución empírica de las frecuencias de temperaturas del aire, la máxima media (31,9 °C) resultó extremadamente superior a la normal, siendo 37,0 °C el máximo valor de temperatura registrado el día 13/02/2023. La temperatura mínima media (19,0 °C) fue normal, siendo 13,0 °C la mínima absoluta registrada en el abrigo meteorológico el día 18/2/2022 (Gráfico 2). Destaca un evento de ingreso de frente frío con fuerte disminución de la amplitud térmica coincidente con una precipitación acumulada de 45mm.

La precipitación acumulada en el mes de febrero 2023 fue 103,6 mm, valor que puede calificarse técnicamente por estadística descriptiva como extremadamente inferior a la normal, siendo la media mensual histórica de 229,2 mm. En el Gráfico 4 se observa en barras verticales la precipitación ocurrida entre marzo 2022 y febrero 2023 versus la precipitación media histórica analizada por estadística descriptiva en el período 1967-2022. En el Gráfico 8 se observa la distribución de los 8 eventos de precipitación registrados en el mes. El 90% de la precipitación del mes ocurrió con volumen acumulado inferior a 30mm lo que aumenta la eficiencia de retención del agua en el perfil edáfico. Aunque el volumen no es el suficiente para cubrir la deficiencia de agua actual en el perfil edáfico. En consecuencia, la napa freática se mantiene a profundidad extremadamente superior a la normal en relación a la temporada estival Gráfico 7. Cierra el mes a 2,51 metros de profundidad.

La heliofanía efectiva, es decir la cantidad de horas de brillo solar, fue muy superior a la normal, siendo 7,0 horas el promedio del mes (Gráfico 2). La radiación (Gráfico 3) resulta superior a la normal, consecuencia de la baja nubosidad registrada.

Las pérdidas de agua del sistema estimadas por Penman resultaron extremadamente superior a la normal, consecuencia de las elevadas temperaturas y elevada radiación solar.

En los gráficos 8 y 9 se observa la distribución de las anomalías de temperatura y precipitación esperadas para mayo 2023. Se espera que en el mes de mayo se recupere el volumen de precipitación de la temporada. Coincide esta tendencia con la esperada para el final del ciclo de aporte negativo de precipitación causado por el fenómeno de la Niña. Se espera además anomalías negativas en la temperatura durante el mes de mayo. Aunque este comportamiento muestra un cambio marcado hacia las anomalías positivas en el mes de julio 2023.

Tabla 1 Climatología de las principales variables

	Feb-23	Serie 1967/2021	Desvío	Calificación técnica ¹
Temperatura (°C)				
Máxima	31,9	29,5	2,4	Extremadamente superior a la normal
Máxima absoluta del mes	37,0			*
Mínima	19,0	19,1	-0,1	Normal
Mínima absoluta del mes	13,0			*
Media	25,4	23,9	1,5	Superior a lo normal
Amplitud térmica	12,9	10,4	2,5	
Humedad Relativa (%)				
Media	74	82	13	Extremadamente inferior a la normal
Precipitación (mm)				
Total mensual	103,6	229,2	-125,6	Extremadamente inferior a la normal
1 ^{ra} década	57,4			*
2 ^{da} década	31,5			*
3 ^{ra} década	14,7			*
Nº de días con precipitación (día)	8	14	-6	Extremadamente inferior a la normal
Evapotranspiración según Penman (mm)				
Total mensual	171,5	137,9	33,6	Extremadamente superior a la normal
1 ^{ra} década	63,7			
2 ^{da} década	58,8			
3 ^{ra} década	49,0			
Radiación				
Heliofanía efectiva (horas)	7,0	5,6	1,4	Muy superior a lo normal
Radiación (Ly/día)	388,9	376,5	12,4	Superior a lo normal
Profundidad de napa (m)				
	2,5	2,1	0,4	Extremadamente superior a la normal
1 ^{ra} década	2,4			*
2 ^{da} década	2,4			*
3 ^{ra} década	2,4			*

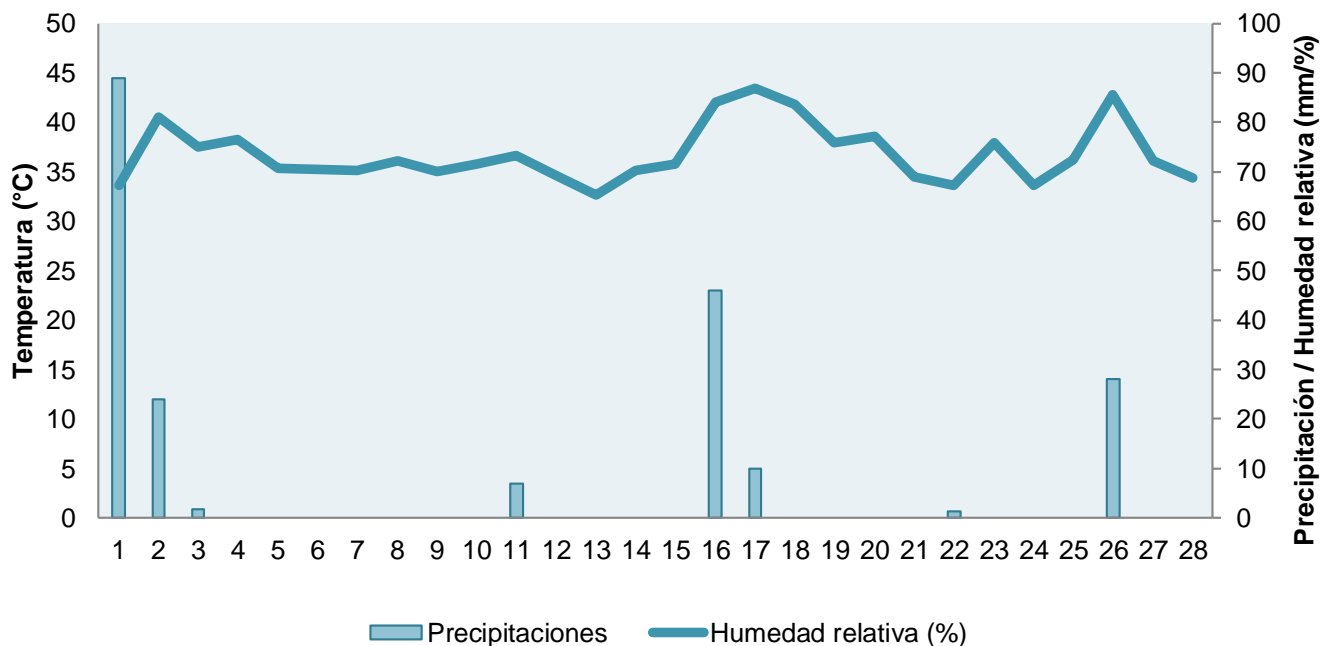


Gráfico 1. Precipitación, temperatura media y humedad relativa

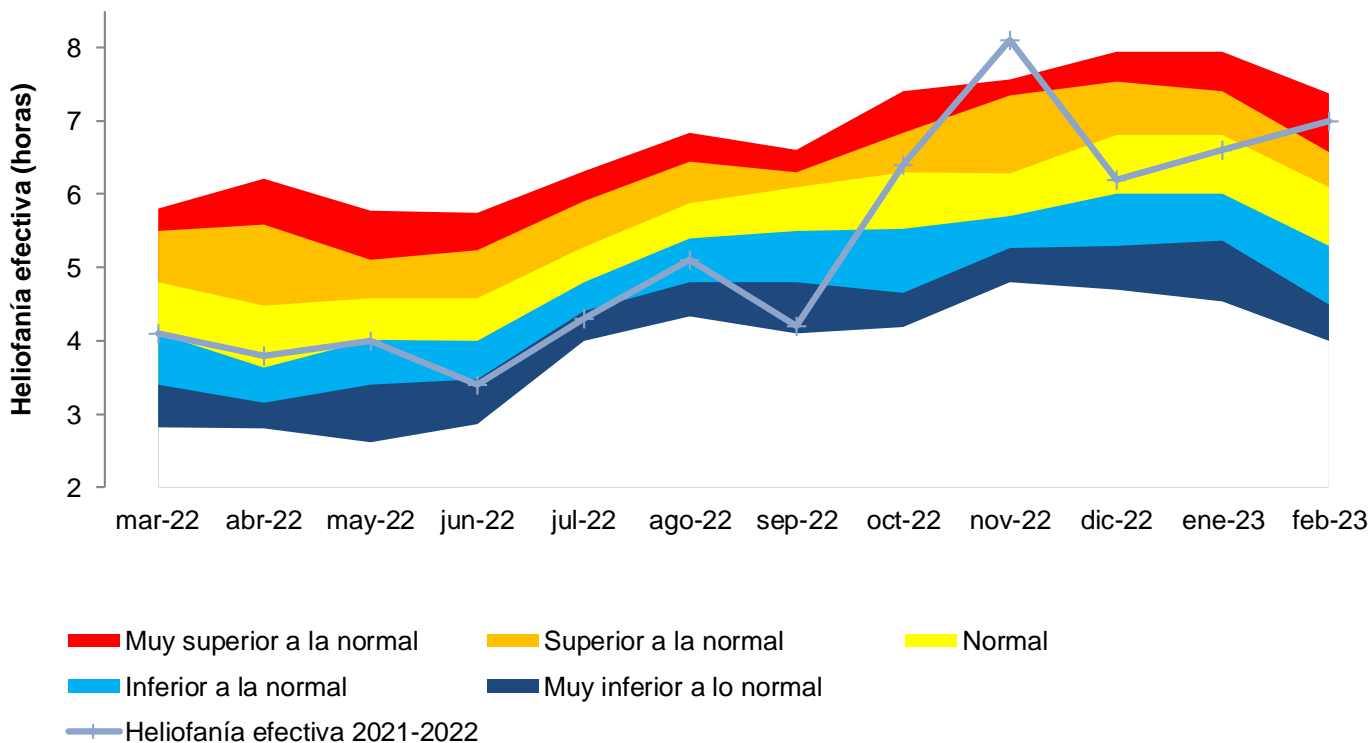


Gráfico 2 Heliofanía efectiva mensual versus heliofanía efectiva histórica (serie 1967- 2020)

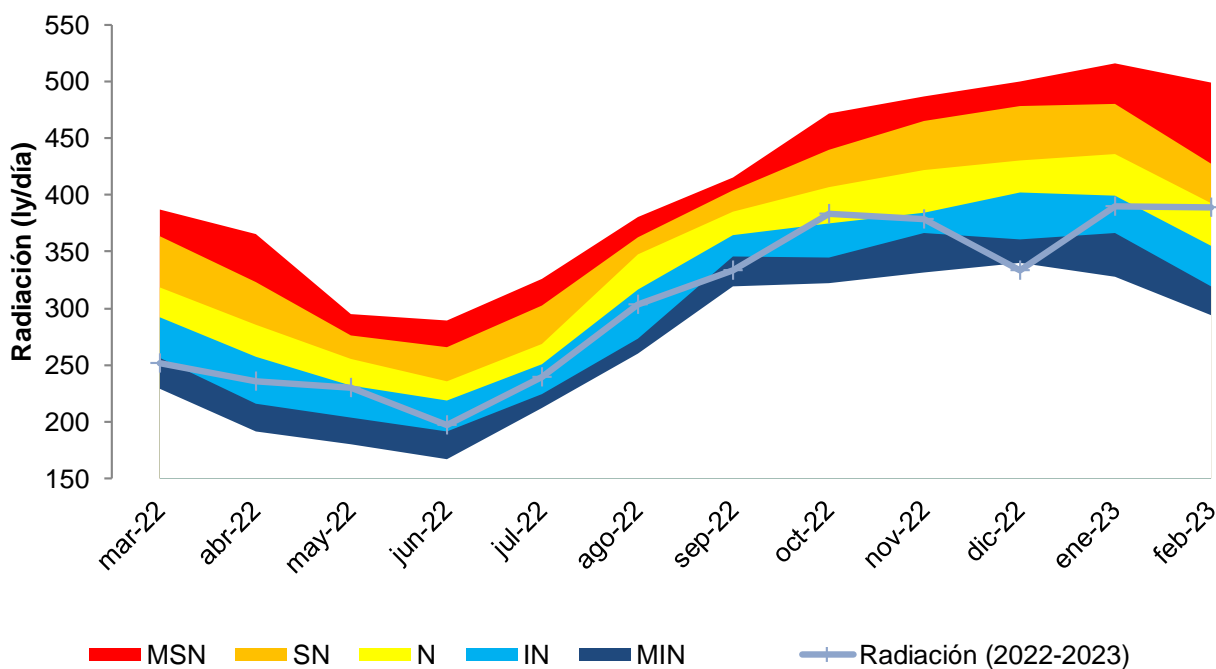


Gráfico 3 Radiación global mensual versus la radiación global histórica (serie 1967-2022)

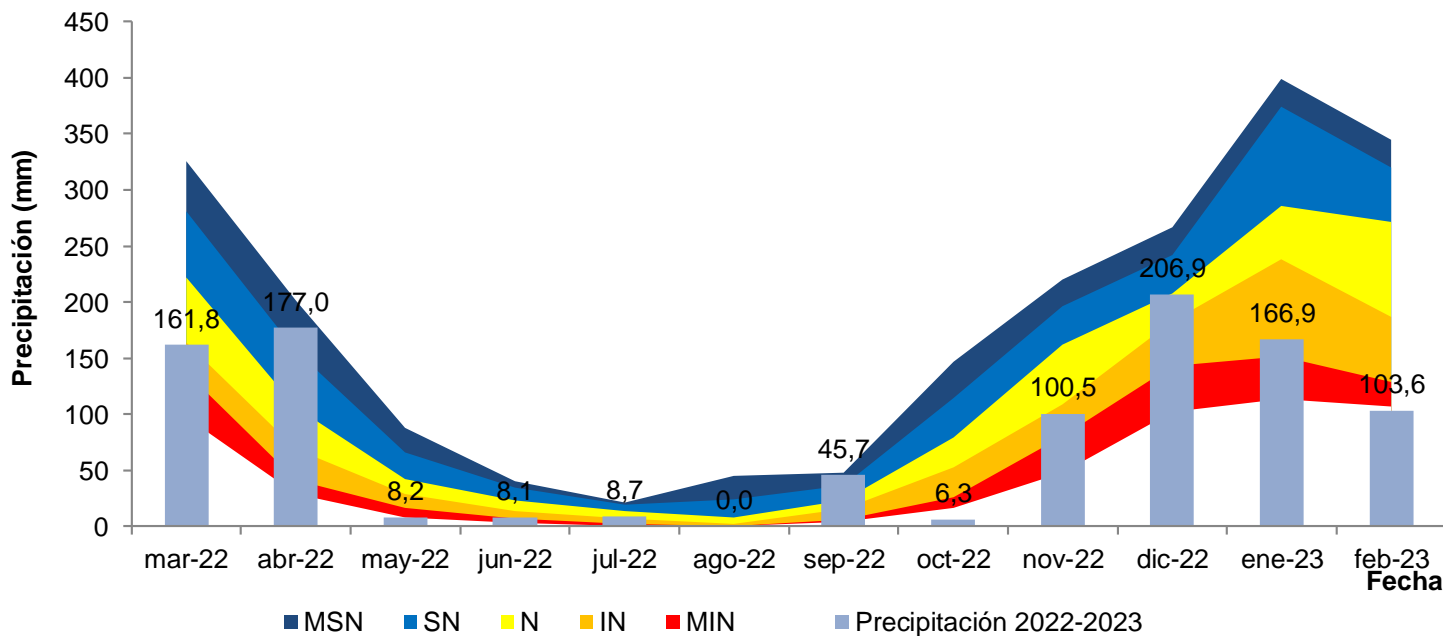


Gráfico 4 Precipitación mensual 2020 versus precipitación normal histórica (1967-2020)

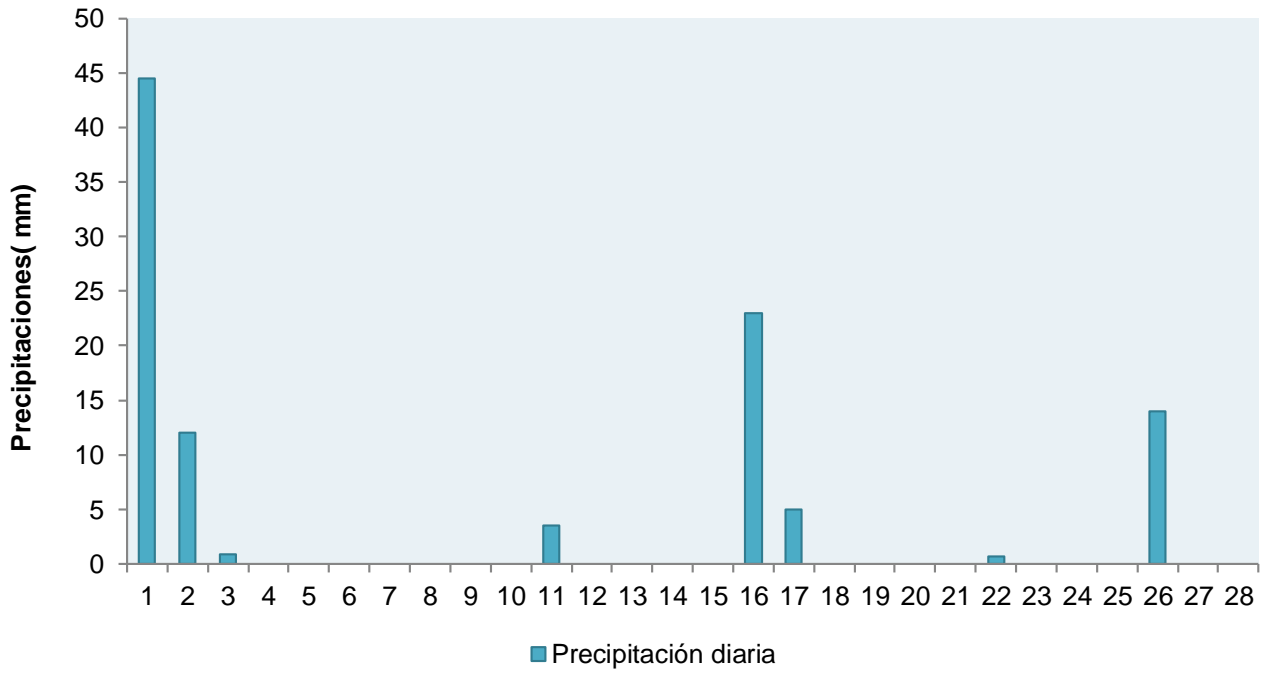


Gráfico 5 Distribución de la precipitación diaria del mes

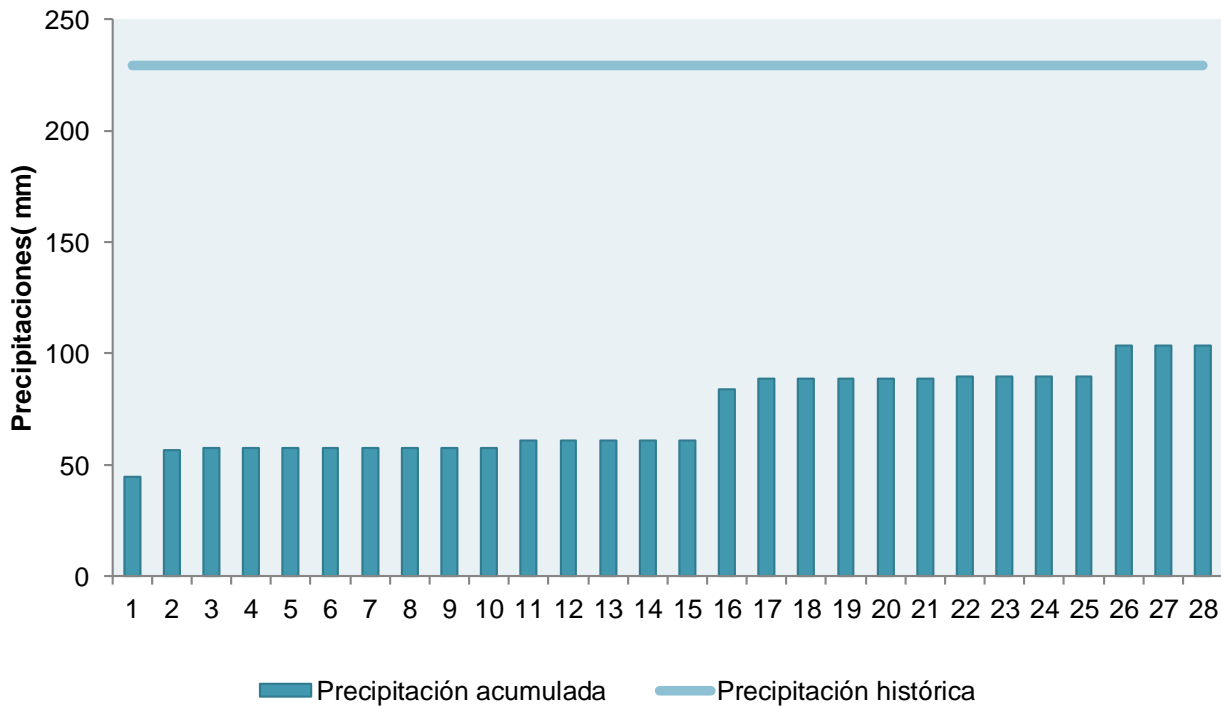


Gráfico 6 Precipitación acumulada del mes versus precipitación histórica

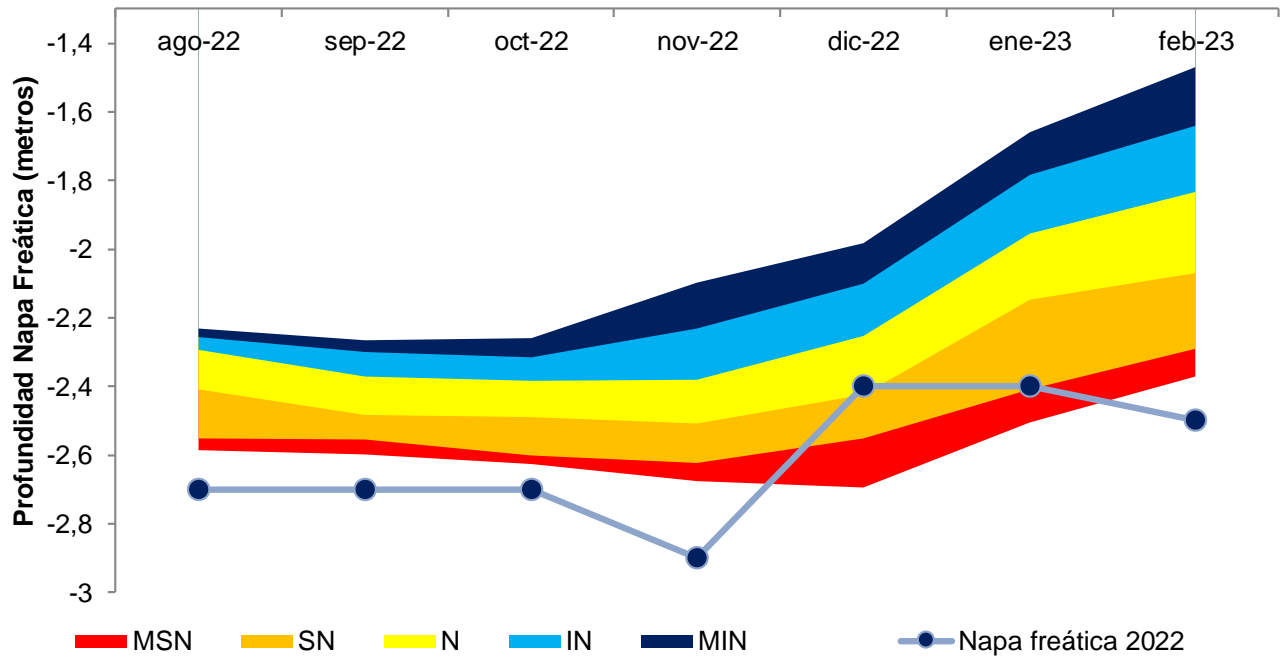


Gráfico 7 Profundidad de la napa freática relacionada a la profundidad media mensual histórica

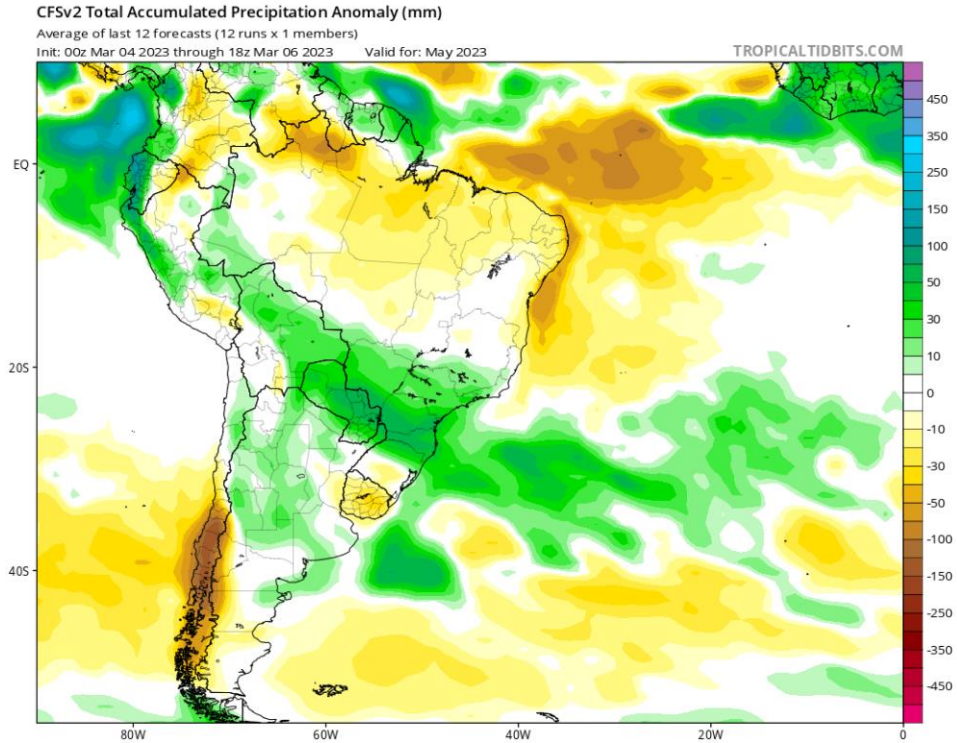


Gráfico 8 Anomalía de la precipitación acumulada esperada para Mayo 2023

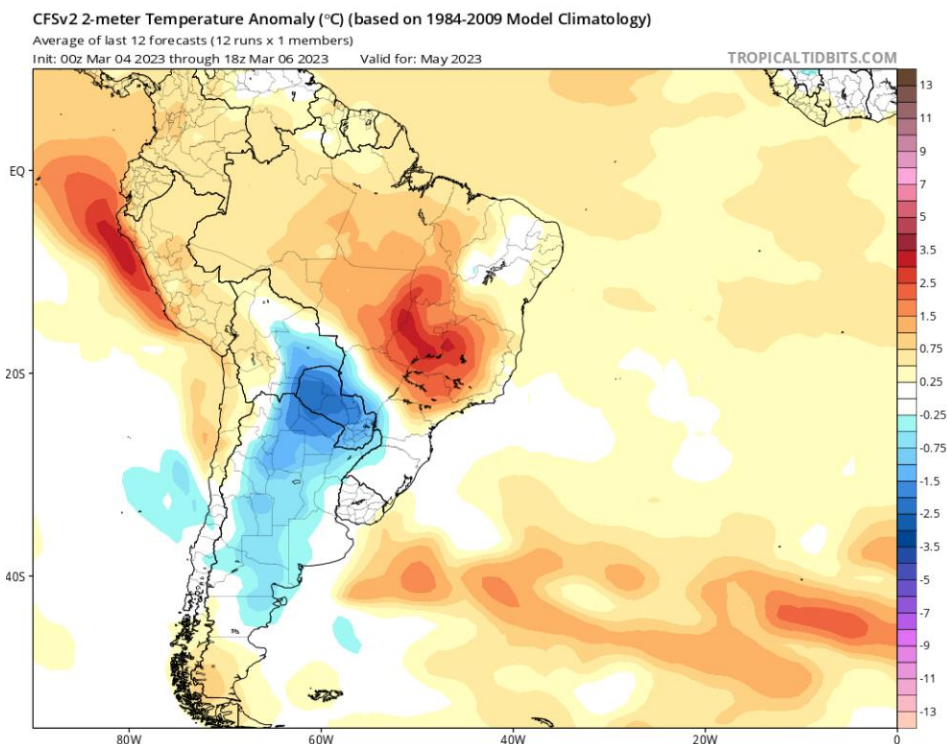


Gráfico 9 Anomalía de la temperatura esperada en Mayo 2023

Referencias

¹ Calificación según la distribución empírica de frecuencias en la serie 1967/2021. Determinación de percentiles de probabilidad de ocurrencia del 10%, 20%, 40%, 60%, 80%, y 90%.

² Temperatura medida a 150 cm del suelo dentro de casilla meteorológica.

³ Temperatura medida a 5 cm del suelo a la intemperie.

* No se dispone de serie lo suficientemente completa para hacer la calificación técnica

■ Helada

ESN Extremadamente superior a la normal- Probabilidad de un 90% de que ocurra un valor igual o inferior

MSN Muy superior a la normal- Probabilidad de un 80% de que ocurra un valor igual o inferior

SN Superior a la normal- Probabilidad de un 60% de que ocurra un valor igual o inferior

N Normal - Probabilidad entre un 60% y 40% de que ocurra un valor comprendido

IN Inferior a la normal - Probabilidad de un 40% de que ocurra un valor igual o inferior

MIN Muy inferior a la normal- Probabilidad de un 20% de que ocurra un valor igual o inferior

EIN Extremadamente inferior a la normal- Probabilidad de un 10% de que ocurra un valor igual o inferior

Todos los datos diarios disponibles en <http://www.siga2.inta.gob.ar/>